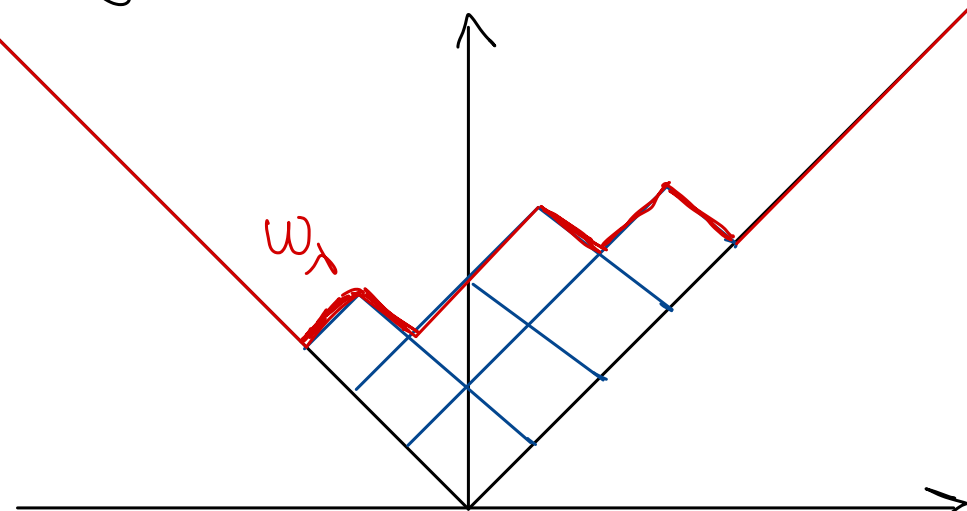


8. La loi des grands nombres
de Logan - Shepp - Kerou - Vershik

1. Passage des observables algébriques aux observables géométriques

Étant donnée λ partition d'entiers de taille n , son diagramme de Young tourné à 45 degrés donne une fonction w_λ qui est :

- 1 - Lipschitzienne
- avec $w_\lambda(s) = \lambda s$ pour s assez grand



On appelle **diagramme continu** une fonction w avec ces 2 propriétés.

Ces fonctions :

- sont stables par renormalisation :

$$w_\varepsilon(s) = \sqrt{\varepsilon} w\left(\frac{s}{\sqrt{\varepsilon}}\right)$$

(multiplier les dimensions ↑ et ↕ par $\sqrt{\varepsilon}$).

- ont une propriété de compacité si on restreint le support :

$$\mathcal{Y}_{c, n} = \left\{ w \text{ diagramme continu, } w(s) = |s| \text{ si } |s| \geq n \right\}$$

est compact pour la topologie de la convergence uniforme.

- peuvent être décrites à l'aide des observables géométriques

$$\tilde{p}_k(w) = k(k-1) \int_{\mathbb{R}} \frac{w(s) - |s|}{2} \cdot s^{k-2} ds, \quad k \geq 2.$$

$$\text{Si } w = w_\lambda, \text{ alors } \frac{1}{2} \tilde{p}_2(w_\lambda) = \int \frac{w_\lambda(s) - |s|}{2} ds = |\lambda|.$$

Proposition : Soit $(w_n)_{n \in \mathbb{N}}$ et w des diagrammes de Yang continu qui sont tous dans un même $\mathcal{Y}_{c, \eta}$.

On suppose que $\tilde{p}_k(w_n) \xrightarrow[n \rightarrow +\infty]{} \tilde{p}_k(w)$ $\forall k \geq 2$.

Alors, $w_n \xrightarrow[\|\cdot\|_\infty]{} w$.

En effet, $(w_n)_{n \in \mathbb{N}}$ est dans une partie compacte, et toute limite w' d'une sous-suite convergente doit vérifier

$$\tilde{p}_k(w') = \tilde{p}_k(w) \quad \forall k \geq 2$$

$$\Leftrightarrow \forall P(s) \text{ polynôme}, \int_{[-\eta, \eta]} w'(s) P(s) ds = \int_{[-\eta, \eta]} w(s) P(s) ds$$

$\Leftrightarrow \forall f$ fonction continue, $\int w'(s) f(s) ds = \int w(s) f(s) ds$
 d'où, en prenant $f = w' - w$, $\int |w'(s) - w(s)|^2 ds = 0$, et $w' = w$ \square .

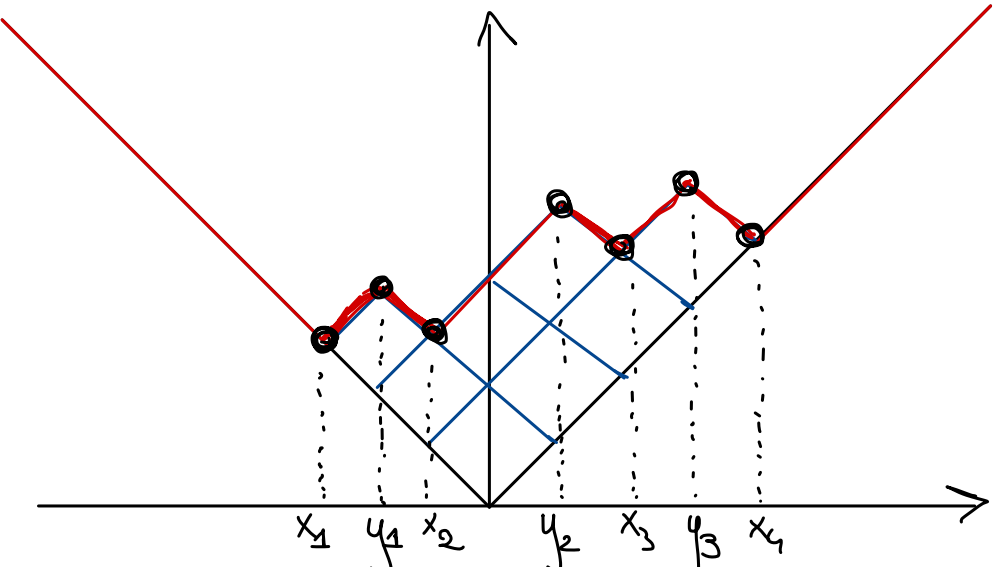
Lien avec les observables algébriques \sum_p des diagrammes de Young ?

$$O = \text{Vect}(\sum_p, p \in \gamma) \text{ avec } \sum_p(\lambda) = \sum_{\lambda} \chi^{\lambda}(p)$$

si $n = |\lambda| \geq |p| = k$.

On introduit les coordonnées entrelacées :

$x_1 < y_1 < x_2 < \dots < x_{s-1} < y_{s-1} < x_s$ d'un diagramme de Young :



$$\begin{aligned}
 \tilde{p}_k(w_\lambda) &= k(k-1) \int s^{k-2} \frac{w_\lambda(s) - |s|}{2} ds \\
 &\stackrel{(I\!P\!P)}{=} \int s^k \sigma_\lambda''(s) ds \quad \text{avec } \sigma_\lambda(s) = \frac{w_\lambda(s) - |s|}{2} \\
 &= \sum_{i=1}^s x_i^k - \sum_{i=1}^{s-1} y_i^k.
 \end{aligned}$$

On peut encoder ces relations par :

$$\frac{\prod_{i=1}^{s-1} z - y_i}{\prod_{i=1}^s z - x_i} = \frac{1}{z} \exp \left(\sum_{i=1}^{s-1} \log \left(1 - \frac{y_i}{z} \right) - \sum_{i=1}^s \log \left(1 - \frac{x_i}{z} \right) \right)$$

$$= \frac{1}{z} \exp \left(\sum_{k=1}^{\infty} \frac{\tilde{p}_k(w_k)}{k} z^{-k} \right).$$

On avait par ailleurs vu (à peu près) :

$$\sum_k (\lambda) = [z^{-1}] \left(- \frac{1}{k} \left(z - \frac{1}{2} \right)^{\downarrow k} \frac{H_\lambda(z)}{H_\lambda(z-k)} \right)$$

$$\text{avec } H_\lambda(z) = \prod_{i=1}^d \frac{z + i - 1/2}{z - \lambda_i + i - 1/2} = \prod_{i=1}^d \frac{z + b_i}{z - a_i}$$

Coordonnées de Frobenius.

Fait combinatoire pas vraiment surprenant :
 on peut exprimer les coordonnées entrelacées à partir des coordonnées de Frobenius et réciproquement.

$$\frac{\prod_{i=1}^{s-1} z - y_i}{\prod_{i=1}^s z - x_i} = \frac{1}{z} \frac{H_\lambda(z^{-1/2})}{H_\lambda(z+1/2)}$$

(vrai si $\lambda = \emptyset$, il suffit de voir que cela reste vrai en rajoutant une case à un diagramme).

Conséquence :

$$\begin{aligned} \mathbb{O} &= \mathbb{C}[\sum_1, \sum_2, \sum_3 \dots] \\ &= \mathbb{C}[\tilde{p}_2, \tilde{p}_3, \dots] \text{ avec } \tilde{p}_k(\lambda) = \tilde{p}_k(\omega_\lambda). \end{aligned}$$

En travaillant un peu, on peut exprimer \tilde{p}_k explicitement en fonction des $\sum_{\ell \leq k+1}$. Il est utile d'introduire une troisième gradation sur \mathcal{O} et \mathcal{P} :

poids $(\sigma, A) = |A| + \text{nbre de cycles de } \sigma \text{ sur } A$.

Lemme: On a $\text{poids}(\sigma\tau, A \cup B) \leq \text{poids}(\sigma, A) + \text{poids}(\tau, B)$
 avec égalité si $A \cap B = \emptyset$.

Preuve: On sépare les cycles de $\sigma\tau$ sur $A \cup B$ en trois :

- les cycles de σ qui sont contenus dans $A \setminus B$
- les cycles de τ dans $B \setminus A$
- les autres cycles, qui ne sont contenus ni dans $A \setminus B$, ni dans $B \setminus A$.

Si c cycle de $\sigma\tau$ à son support non contenu dans $A \setminus B$ ou dans $B \setminus A$,
 $c = (c_1, c_2, \dots, c_\ell)$ et certains c_i sont dans A .

$$\overbrace{}^c_j \overbrace{}^B$$

À réécriture du cycle près, on peut supposer $c_1 \in A$ et $c_2 \in B$.

Si $c_1 \notin A \cap B$, alors $\tau(c_1) = c_1$, donc $\sigma\tau(c_1) = c_2 = \sigma(c_1) \in A \cap B$.

\Rightarrow les cycles du troisième type ont une intersection non vide avec $A \cap B$.

$$\begin{aligned} \text{Alors, poids } (\sigma\tau, A \cup B) &= C_1 + C_2 + C_3 + |A \cup B| \\ &\leq \text{Cyc}(\sigma) + \text{Cyc}(\tau) + |A \cap B| + |A \cup B| \\ &= \text{Cyc}(\sigma) + |A| + \text{Cyc}(\tau) + |B| = \text{poids}(\sigma, A) + \text{poids}(\tau, B) \end{aligned}$$

On a égalité ssi $C_1 = \text{Cyc}(\sigma)$, $C_2 = \text{Cyc}(\tau) \Rightarrow A \cap B = \emptyset$. \square .

$$\text{poids}(\sum_p) = |p| + \ell(p).$$

$$\sum_p \times \sum_Q = \sum_{p \cup Q} + \text{termes de poids inférieur}.$$

Théorème (admis)

$$\tilde{p}_k = \sum \frac{\underset{|p|+l(p)=k}{\cancel{k}}}{\prod_{i \geq 1} m_i(p)!} \cdot \sum_p + \text{termes de poids } < k.$$

$$\text{Ainsi, } \tilde{p}_2 = 2 \sum_1, \tilde{p}_3 = 3 \sum_2, \tilde{p}_4 = 4 \sum_3 + 6 \sum_{1,1} \text{ etc.}$$

Ceci va nous permettre de calculer \mathbb{E} et $\text{var}(\tilde{p}_k(w_n))$,
 $\lambda_n \sim PL(n)$.

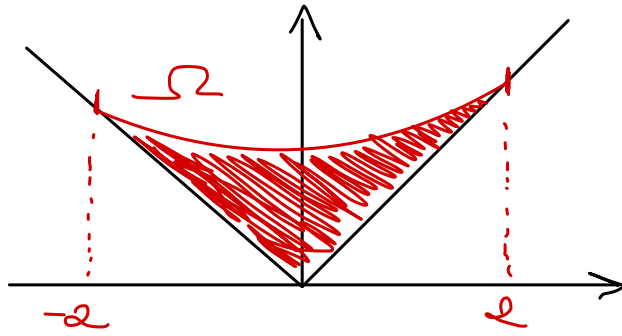
2. Loi des grands nombres et solution du problème d'Ulam.

Théorème

Posons $w_n = (\omega_{\lambda_n})_1^n$ on renomme pour avoir un diagramme continu d'aire 2.
 $\lambda_n \sim \text{Plancherel}(n)$

$$\text{et } \Omega(s) = \begin{cases} \frac{2}{\pi} \left(\arcsin \frac{s}{2} + \sqrt{4-s^2} \right) & \text{si } |s| \leq 2 \\ |s| & \text{si } |s| \geq 2. \end{cases}$$

$$O_n \ni w_n \xrightarrow{\|\cdot\|_1} \Omega.$$



Préliminaire 1)

On a vu que $P[\lambda_{n,1} \geq 2e\sqrt{n}] \rightarrow 0$
 par symétrie, $P[C(\lambda_{n,1}) \geq 2e\sqrt{n}] \rightarrow 0$
 donc avec probabilité tendant vers 1, $\omega_{\lambda_n} \in \Omega_{c, 2e\sqrt{n}}$
 $\omega_n \in \Omega_{c, 2e}$.

Il suffit donc de montrer que

$$\tilde{p}_k(\omega_n) \xrightarrow[P]{} \tilde{p}_k(\omega) \quad \forall k \geq 2.$$

On va montrer la convergence en espérance et l'innulation asymptotique
 de la variance. (puis, utiliser Bienaymé-Chebychev).

Préliminaire 2)

$$\tilde{p}_k(-\varrho) = k(k-1) \int_{-2}^2 s^{k-2} \frac{\varrho(s) - |s|}{2} ds$$

$$\text{IPP} = -\frac{k}{2} \int_{-2}^2 s^{k-1} \left(\frac{2}{\pi} \arcsin \frac{s}{2} - \text{sgn}(s) \right) ds$$

Par parité, $\tilde{p}_k(-\varrho) = 0$ si k est impair. Sinon, c'est

$$\tilde{p}_{2k}(-\varrho) = 2k \int_0^2 s^{2k-1} \left(1 - \frac{\varrho}{\pi} \arcsin \frac{s}{2} \right) ds$$

$$s = 2\sin\theta \Rightarrow = 2^{2k+1} k \int_0^{\pi/2} \left(1 - \frac{2\theta}{\pi} \right) (\sin\theta)^{2k-1} \cos\theta d\theta$$

$$\text{IPP} = \frac{2^{2k+1}}{\pi} \int_0^{\pi/2} (\sin\theta)^{2k} d\theta = \binom{2k}{k} \quad (\text{formules de Wallis})$$

Notons que pour toute observable $f \in \mathcal{Q}$,

$$\mathbb{E}[f(\lambda_n)] = O(n^{\frac{\text{poids}(f)}{2}}).$$

Alors :

$$\begin{aligned} \mathbb{E}[\hat{p}_k(\lambda_n)] &= \sum_{\substack{|\mu|=r \\ |\mu|+e(\mu)=k}} \frac{k^{e(\mu)}}{\prod_{i=1}^r m_i(\mu)!} \mathbb{E}\left[\sum_{\mu} (\lambda_n)\right] + O(n^{\frac{k-1}{2}}) \\ &= \begin{cases} \binom{k}{k_2} n^{\frac{k}{2}} + O(n^{\frac{k-1}{2}}) & \text{si } k \text{ pair,} \\ & (\mu = 1^{k_2}) \\ O(n^{\frac{k-1}{2}}) & \text{si } k \text{ impair.} \end{cases} \end{aligned}$$

Les observables géométriques se comportent bien vis-à-vis de la

renormalisation :

$$\begin{aligned}\tilde{p}_k(\omega_n) &= k(k-1) \int \left[\frac{\frac{1}{\sqrt{n}} \omega_{\lambda_n}(\sqrt{n}s) - |s|}{2} \right] s^{k-2} ds \\ &= \frac{k(k-1)}{n^{k/2}} \int \frac{\omega_{\lambda_n}(\sqrt{n}s) - |\sqrt{n}s|}{2} (\sqrt{n}s)^{k-2} \sqrt{n} ds \\ &= \frac{1}{n^{k/2}} \tilde{p}_k(\lambda_n).\end{aligned}$$

Donc $\mathbb{E}[\tilde{p}_k(\omega_n)] \xrightarrow[n \rightarrow +\infty]{} \tilde{p}_k(\varrho) \quad \forall k \geq 2.$

Pour la variance, la propriété de factorisation en plus haut poids
 $\sum_p \sum_g = \sum_p U_g + \text{termes de poids inférieur}$ implique :

$$\text{var}(\tilde{p}_k(\lambda_n)) = O(n^{\frac{2k-1}{2}})$$

$$\text{var}(\tilde{p}_k(\omega_n)) = O(n^{-1/2}) \rightarrow \text{le théorème est démontré !.}$$

remarque On peut se demander s'il y a une limite à

$\sqrt{n}(\omega_n(s) - \Omega(s))$ (processus des fluctuations par rapport à la forme limite).

On peut montrer que :

$$\sqrt{n}(\omega_n(s) - \Omega(s)) \xrightarrow[n \rightarrow +\infty]{} \sum_{k=2}^{+\infty} \underbrace{\sum_{j,k}}_{jk} \sin\left(k \arccos \frac{s}{2}\right).$$

loi
distributions sur $[-2,2]$

(TCL de Karov, version géométrique).

Ces \sum_k gaussiennes indépendantes.

Corollaire Soit $\sigma_n \sim \text{Unif}(\mathcal{S}_n)$

$l_n = l(\sigma_n)$ longueur d'un plus long sous-mot croissant.

$$\frac{l_n}{\sqrt{n}} \xrightarrow{\mathbb{P}} 1.$$

Preuve: Comme $\mathbb{E}(S) > l_S$ si $S = \mathcal{Q} - \varepsilon$, avec grande probabilité, $w_{\lambda_n}(\sqrt{n}\mathcal{Q} - \varepsilon) > \sqrt{n}(\mathcal{Q} - \varepsilon)$

$$l_n = \lambda_{n,1} > \sqrt{n}(\mathcal{Q} - \varepsilon).$$

Nous avons aussi $\mathbb{E}[l_n] \leq \sqrt{n}$, donc on est coincé :

$$\frac{l_n}{\sqrt{n}} \xrightarrow{\mathbb{P}} 2$$

□.